

高等学校教学用書

# 鍋爐燃燒過程

下 冊

苏联Г. 中. 克諾烈著



電力工業出版社

高等学校教学用書

# 鍋 爐 燃 燒 过 程

下 冊

燃燒過程的工藝學

苏联Г.Ф.克諾烈著

馬鏡义 倪維珍譯

苏联高等教育部批准作为动力  
和机械高等学校及大学动力和机械系教材

電 力 工 業 出 版 社

本書分上下冊出版。下冊包括三四兩篇，共十五章，第三篇敘述各種燃燒方式中的混合作用；第四篇敘述各種燃料在不同的燃燒方法中的特性等。

本書在編寫中注意到使廣大的技術界人士容易理解；本書可供運行工程師、設計師、技術員及大學高年級學生參考。

Г. Ф. КНОРРЕ  
**ТОПОЧНЫЕ ПРОЦЕССЫ**  
ГОСЭНЕРГОИЗДАТ МОСКВА 1951

**鍋爐燃燒過程 下冊**

根据苏联国立动力出版社1951年莫斯科版翻譯

馬毓義 謂維珍譯

**439R98**

电力工業出版社出版(北京市右貳號)

北京市審刊出版業者認可登出字第032号

北京市印刷一厂排印 新華書店發行

787×1092毫米开本 • 15號印張 • 307千字 • 定价(第10类)2.00元

1956年11月北京第1版

1956年11月北京第1次印刷(0001—5,100冊)

# 目 录

## 第三篇 混合作用

第十二章 完全燃烧原理, 燃烧过程的共同温度水平.....	190
12-1. 烟气的有用能 .....	190
12-2. 燃烧过程的温度区域 .....	192
12-3. 發熱的完全程度 .....	195
12-4. 發熱率曲線 .....	197
12-5. 理論單位引力 .....	199
12-6. 燃燒強度和烟氣流的速度 .....	200
12-7. 烟氣流的速度和溫度 .....	200
第十三章 混合作用是燃燒原理的基础 .....	203
13-1. 燃燒的动力原理 .....	203
13-2. 燃燒的擴散原理 .....	210
13-3. 燃燒的混合原理 .....	215
13-4. 霧化了的液体燃料的燃燒 .....	218
13-5. 气流断面上燃料的分佈 .....	222
13-6. 可燃混合物的構成 .....	229
第十四章 連續原理。燃燒固体燃料时的混合作用.....	232
14-1. 气体和液体燃料燃燒的連續方案 .....	232
14-2. 固体燃料燃燒的連續方案 .....	234
14-3. 燃燒過程初步分类的气体动力学基础 .....	239
第十五章 層燒過程的混合作用 .....	251
15-1. 層燒的連續方案: 相對, 平行, 相交及混合方案 .....	251
15-2. 燃燒層氣化的性質 .....	259
15-3. 兩段燃燒方案 .....	262
15-4. 一次、二次和三次空氣 .....	270
15-5. 燃燒中心的阶段 .....	271
第十六章 火炬燃燒過程的混合作用.....	276
16-1. 混合作用的性質、帶走現象 .....	276
16-2. U-形和 L-形火炬的方案 .....	280
16-3. 具有角式噴燃器及多行縫隙形噴燃器的方案 .....	286
16-4. 具有豎井磨煤机式的方案 .....	288
16-5. 二次混合作用 .....	291

16-6. 固态除渣和液态除渣 .....	298
<b>第十七章 旋風燃燒過程的混合作用.....</b>	<b>303</b>
17-1. 旋風燃燒法的發展 .....	303
17-2. 循环旋風式爐 .....	306
17-3. 旋風爐 .....	309
17-4. 沸騰燃料層原理 .....	315

## 第四篇 燃 燒

<b>第十八章 爐子、噴燃器、燃燒室。气体和液体燃料 的燃燒.....</b>	<b>319</b>
18-1. 量和質的特性 .....	319
18-2. 噴燃器和燃燒室 .....	320
18-3. 燃燒強度和容積熱力強度 .....	323
18-4. 燃燒室的區域 .....	326
18-5. 壓制空間內氣流的流动 .....	330
18-6. 能力型爐子中送入一次、二次和三次空氣的方法 .....	334
18-7. 热力型爐子中火炬燃燒過程的性質 .....	338
<b>第十九章 粉狀固体燃料的燃燒.....</b>	<b>340</b>
19-1. 煤粉爐的一般特性 .....	340
19-2. 溫度區域分配的性質；燃燒曲線 .....	345
19-3. 粉狀燃料燃燒機構的概念的發展 .....	349
19-4. 碳粒的燃燒和氣化的性質 .....	356
19-5. 几個一般性的結論 .....	360
<b>第二十章 固体燃料在燃料層中的燃燒.....</b>	<b>363</b>
20-1. 層燒爐的一般特性 .....	363
20-2. 燃料層和燃燒室的工作 .....	365
20-3. 鏊條爐排上燃料層的燃燒特性 .....	369
20-4. 鏊條爐排上燃料層的燃燒方案 .....	380
20-5. 其它相交供應方案中燃料層上氣體分析的性質 .....	386
20-6. 燃料層氣化和燃燒的計算理論方案 .....	390
<b>第二十一章 火炬燃燒過程着火前沿穩定的方法.....</b>	<b>398</b>
21-1. 动力火炬的点火区域 .....	398
21-2. 扩散燃燒的稳定 .....	402
21-3. 煤粉噴燃器着火的稳定 .....	405
21-4. 最初可燃混合物的着火条件 .....	408
21-5. 煤粉火炬的着火条件 .....	414

21-6. 旋風爐中的着火方案	419
<b>第二十二章 爐燒過程中着火前沿穩定的方法</b>	<b>421</b>
22-1. 相向方案着火前沿的穩定	421
22-2. 平行方案着火前沿的穩定	423
22-3. 鏈條爐排燃料層着火前沿的穩定	435
22-4. 階梯式前爐	440
22-5. 使上部點火強化的方法	445
<b>第二十三章 燃燒設備的燃燒強度</b>	<b>443</b>
23-1. 爐子質量的氣體動力學規則	448
23-2. 氣流的加熱程度和爐子通道的收縮程度	451
23-3. 系統的總流動阻力	455
23-4. 燃燒強度的程度	457
23-5. 典型燃燒設備的平均比較特性	459
23-6. 爐燒式爐子的總阻力	465
<b>第二十四章 燃燒設備的熱平衡</b>	<b>469</b>
24-1. 燃燒設備的熱平衡及效率	469
24-2. 化學的未完全燃燒損失	473
24-3. 機械的未完全燃燒損失	475
24-4. 熔渣的物理顯熱損失	479
24-5. 外部冷卻損失	480
24-6. 爐子的直接放熱	483
24-7. 計算實例	491
<b>第二十五章 爐內結渣</b>	<b>498</b>
25-1. 結渣的因素	498
25-2. 濕度特性	500
25-3. 粘性特性	503
25-4. 熔渣在燃燒室內的分離作用	510
25-5. 液態除渣的結渣區域	513
25-6. 固態除渣的結渣區域	515
25-7. 爐燒爐中的結渣	520
<b>第二十六章 燃燒設備機械化的原則</b>	<b>526</b>
26-1. 供應燃燒設備的機械化問題	526
26-2. 成層燃燒的機械爐	533
26-3. 旋風爐	551
26-4. 火炬爐	563
<b>參考 文獻</b>	

(2)輻射能——表現為從燃燒區域輻射到周圍較冷物体的能：

(3)機械能——表現為烟氣流的动能。

以上每一种能都可以适当地有效利用：譬如利用輻射能來作照明或熱交換(燈或具有輻射受熱面的熱交換器)；利用熱能作熱交換(具有對流受熱面的熱交換器)；利用機械能來產生機械功(燃氣輪機，噴氣發動機的噴管)。

所以，烟氣的有效能可以用上述三种能量之和來代表它，而每种能又可以表示成佔燃料發热量的若干份額

$$Q_{\text{useful}} = Q_{\text{light}} + Q_{\text{heat}} + Q_{\text{mech}} \quad [\text{大卡}/\text{公斤}] \quad (12-1)$$

燃燒過程的效率是發出能量的完全程度，它能表示出燃料燃燒的不完全情況

$$\varphi = \frac{Q_{\text{useful}}}{K_T} = 1 - \frac{Q_{\text{loss}}}{K_T},$$

一般說來，應當把燃燒過程的效率和整個燃燒設備的效率區別開來。

若1公斤可燃混合物的發热量等於：

$$H = \frac{K_T}{1 + \alpha z_{\text{mix}}},$$

則在燃燒設備中借輻射熱交換作用傳出的那部分能量等於：

$$\mu = \frac{Q_{\text{light}}}{H},$$

而烟氣流在爐子中的開始和最終平均速度等於  $w_0$  和  $w_T$ ，當略去了某些數值很小的項目時，則能量的總平衡式可以用下列等式表示：

$$c_p t_0 + A \frac{w_0^2}{2g} + \varphi H = \mu H + c_p t_T + A \frac{w_T^2}{2g} \quad [\text{大卡}/\text{公斤}] \quad (12-2)$$

或  $(\varphi - \mu) H = c_p (t_T - t_0) + A \frac{w_T^2}{2g} \left[ 1 - \left( \frac{w_0}{w_T} \right)^2 \right];$  (12-2a)

当  $\frac{w_0}{w_T} < 1$  时，可近似地写成

$$(\varphi - \mu)H \approx c_p(t_T - t_0) + A \frac{w_T^2}{2g}. \quad (12-26)$$

当烟气流流过燃烧室时，由於燃烧着的燃料把它加热，虽然所产生的相对加速度很大，但烟气流在燃烧设备本身中获得的动能却是很小的。因此，对于热力爐子來說，可以略去能量平衡式中表示动能的那一项，即可应用下列的等式

$$(\varphi - \mu)H = c_p(t_T - t_0).$$

对于动力爐子來說，能量平衡式中表示气流动能的那一项，可能是一个很大的数值，在这种情况下，因为必须要加大燃烧强度，由於烟道变窄了，烟气流就格外加快了。在某些情况下，如果希望烟气的焓能获得充分的利用，可以採用拉伐尔噴管 (сопло Лавалля) 把热能变成动能；大家都知道，拉伐尔噴管是由漸縮管 (混流管) 和漸扩管 (扩散管) 組成的，漸縮管在气流流动低於音速的区域，而漸扩管則在超音速区域❶。

## 12-2. 燃燒過程的溫度區域

燃燒时發出热量的第一个“佔有者”是燃燒生成物，它具有某一数值的平均比热  $c_{ep}$ ，要是沒有热交換現象，燃料生成物可以被加热到理論的最高溫度  $t_{\max, \text{ макс}}$ 。在此理論狀況下，燃燒生成物的焓，就等於可燃混合物的最大發热量 ( $\alpha = 1$  时)：

$$H_{\max} = c_{ep} t_{\max, \text{ макс}},$$

由此产生了關於理論最高溫度的觀念

$$t_{\max, \text{ макс}} = \frac{H_{\max}}{c_{ep}} [{}^\circ\text{C}]. \quad (12-3)$$

在一些陈旧的手册中，曾屡次提到理論最高溫度，当作是燃料的

❶ 气体的运动是依靠它的膨脹(密度減小)而變快的，在漸縮管中，流速低於音速，在漸扩管中則为超音速。П. А. 烏里斯曾經明确指出(文献 1)，当作用於气流的条件保持适当时，在圓筒形噴管內理論上也可以产生出超音速区域(“热力”噴管“机械”噴管和“重慶”噴管等)。

重要特性之一，还給它一个很不恰当的名字——燃料的热能力，或“热生产率”。對於一些使用空气的爐子，在它的計算項目中，所謂理論燃燒溫度這一名詞，却很流行，理論燃燒溫度就是當實際過剩空氣比較適中( $\alpha \geq 1$ )時，純熱狀況下的燃燒溫度，換句話說，即

$$t_{\text{max}} = \frac{H}{c_{cp}} = \frac{K_T}{(1 + \alpha x_{\text{min}})} - [^{\circ}\text{C}]. \quad (12-4)$$

在實際的爐子中，由於不可能產生出進行燃燒過程的絕熱條件，則在進行燃燒時，往往會有某些放熱現象同時發生（有時是故意這樣做的），因此，實際上在爐子里可以產生出的完全燃燒過程的平均溫度，就會小於其所相當的理論溫度❶

$$t_{\text{mean}} \approx (1 - \mu) t_{\text{max}},$$

式中  $(1 - \mu)$ ——發出的熱量中轉變成燃燒生成物的焓的那一份額；

$\mu$ ——放出熱量所佔的份額，主要決定於環繞著燃燒過程發生空間的比較冷的輻射受熱面的發展情況。

從化學工藝學的觀點來看，任何燃燒設備都是一種反應器，其中保持著一定（平均）的進行燃燒過程的溫度水平，而這種反應器的生產率，則決定於單位時間內引到它裡面去的可燃混合物質量，或從它裡面放出來的燃燒生成物量。

溫度水平對於燃燒過程進行的影響是很大的，因此就應當把下面三個主要的燃燒區域區別開來：

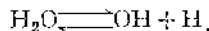
1. 低溫燃燒區域（對於使用空氣的普通爐子來說，大約可以發展到  $900-1000^{\circ}$ ）。在該區域中，即使混合方法是最完善的，照例仍然發現有顯著的燒不透現象，這種現象是當可燃混合物在燃燒設備內逗留時間有限時，反應進行得很慢所引起的。在燃燒生成物的成分中出現了未完全氧化的生成物（例如  $\text{CO}$ ），未氧化的燃料分子（例如  $\text{H}_2$ ）和未曾起過作用的氧化劑分子（例如  $\text{O}_2$ ）。

❶ 參閱敘述得比較詳盡的第二十四章。

燃燒過程的溫度降低了，燒不透的現象就更加厲害。

2. 中溫燃燒區域(大約從 1000 到 1800—2000°)，在這一區域中，當混合作用充分完善時(已經制備好的引入爐子的可燃混合物，或者就在燃燒室內很激烈地構成的可燃混合物)，可以保證完全燃燒。在這種情況下，若燃料和氧化劑之間維持所需的比值( $\alpha \geq 1$ )則在高溫的影響下發展着的反應速度，甚至在反應物質在燃燒設備內逗留的時間受到實際情況的限制時，都能夠使燃燒過程進行到充分或完成的地步，即是進行到只能得出一些完全氧化了的生成物( $\text{CO}_2$ ,  $\text{H}_2\text{O}$  等等)。要是混合情況很完善，則只有在氧化劑顯著缺乏的時候( $\alpha < 1$ )，才可能在中溫區域內發生燒不透的現象。

3. 高溫燃燒區域(大約在 1800—2000° 以上)。在高溫區域中，由於有完全燃燒生成物分解的逆反應在加速進行，完全燃燒過程就變成不可能。燃燒生成物中出現了離解過的分子成分，表現為一些自由原子和自由基，例如根據下面的基本可逆反應



它向右進行是發熱的，向左進行則吸熱。反應進行時的溫度越高，自由原子和自由基(例如羥基 OH)的存在就變得越穩定，在某一個極限溫度下，當離解作用所吸收的熱量還未等於該可燃混合物的理論發熱量即

$$Q_{\text{the}} = H [\text{大卡}/\text{公斤可燃混合物}]$$

或  $K_{\text{the}} = K_T [\text{大卡}/\text{公斤燃料}]$ .

以前，離解作用進行得越徹底，自由發熱量的份額就變得越小。

在上述極限溫度時，該可燃混合物就會退化為只是一種產生熱量的工質。

這樣一來，燃燒過程的兩個極端區域——低溫和高溫區域——的特徵，都是燃燒不完全的，甚至在混合方法很完善的時候也是如此，但卻是由不同的原因引起的：在低溫區域是正反應(燃燒反應)進行緩慢，而在高溫區域則是開展了逆反應(離解作用)，可燃混合物(或燃料)真正的完全燃燒，實際上只是在中溫區域內

才能够办到；在中温区域内也可能出現不完全燃燒，但却不是受到溫度因素的影响，而是由於缺乏氧化剂( $\alpha < 1$ )或者是由於爐子里的反应物質混合得不够激烈。

在任何一种热力型或能力型的机组中，爐子是一个这样的工作机构，在它里面能够产生出整个系统的最高温度。烟气离开了爐子，就进入到使它强烈冷却(由於热交换或烟气的膨胀)的区域中去。若燃燒过程是在中温或低温区域内进行的，而氧化剂的数量又足够的話，則在爐子外面还可以繼續燒一些时候，随后渐渐停止了燃燒，最后仍然是不完全的，只不过稍稍減少了燃燒的不完全程度而已（燃燒的不完全程度說明爐子本身的工作情況）。在

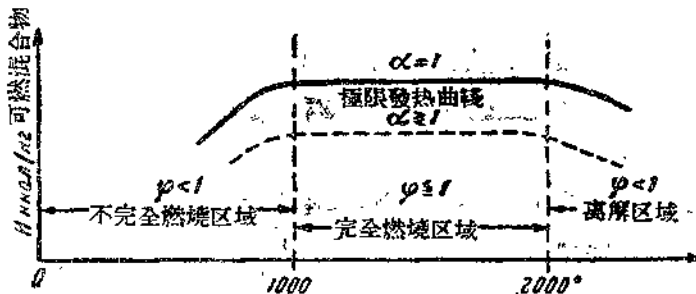


圖 12-1 完全和不完全燃燒的區域

爐子的高温状况下（能力型爐子都是高温的，尤其是那些採用特別活泼的氧化剂的爐子），只是燃燒設備本身的工作才有不完全燃燒，因为在适中的溫度下表現得不稳定的离解生成物，离开爐子后就重新結合为正常的分子，放出适当的热。但是，在能力爐子的通常情况下，这种爐外的热已不能全部利用，有时甚至利用一部分都不行。

上述三个溫度区域用圖綫表示在圖 12-1 中。

### 12-3. 發熱的完全程度

燃燒的完全程度决定於許多因素，在不同的燃燒区域内，这些因素多方面影响着燃燒的完全程度。其实，最好是把燃燒完全

系数表示为物理性质不同的两个系数相乘之积

$$\varphi = \varphi_{use} \cdot \varphi_{due},$$

式中  $\varphi_{due} = \varphi(T, p)$  是温度和压力的复杂函数；

$\varphi_{use} = \varphi\left(\frac{\tau_{npe\beta}}{\tau_{peak}}, \alpha\right)$  是可燃混合物在反应区域内的逗留时间与反应进行时间之比及实际过剩空气(氧化剂)的函数，它并不比上一函数简单些。

暫且撇开离解作用不说，我们可以指出：在低温燃烧区域的

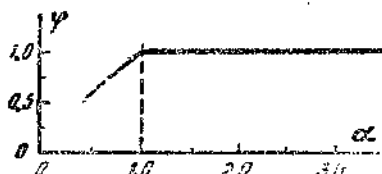


圖 12-2 各種過剩空氣狀況下  
的發熱完全程度

末端和中温区域内，燃烧完全系数可以近似地用图解表示为只是过剩空气的函数(圖 12-2)，而在  $\alpha \leq 1$  (接近于  $\alpha=1$ ) 的区域内，燃烧完全系数和过剩空气系数的数值实际上就合而为一( $\varphi \approx \alpha$ )。

於是，在  $\alpha \geq 1$  的区域内，一公斤可燃混合物的发热量仍然等於：

$$Q_1 = H = \frac{K_p}{1 + \alpha z_{min}},$$

而在  $\alpha \leq 1$  的区域中，则等於(在任一情况下都接近  $\alpha=1$ )：

$$\begin{aligned} Q_1 = \varphi H &= \frac{\varphi K_p}{1 + \alpha z_{min}} \approx \frac{\alpha K_p}{1 + \alpha z_{min}} \\ &= \cdots - \frac{K_p}{\frac{1}{\alpha} + z_{min}}. \end{aligned} \quad (12-5)$$

因此，函数  $Q = Q(\alpha)$  可以用两条相交的双曲线表示(圖 12-3)而  $\alpha = 1$  时的函数值，可以认为是发热量曲线的“特殊点”。从发热量曲线的轨迹可以看出：不管  $\alpha$  较其等於 1 时是减小或是增加，都使得 1 公斤可燃混合物的发热量相应地降低。这种情况在圖 12-1 上相当於那一条虚线曲线。

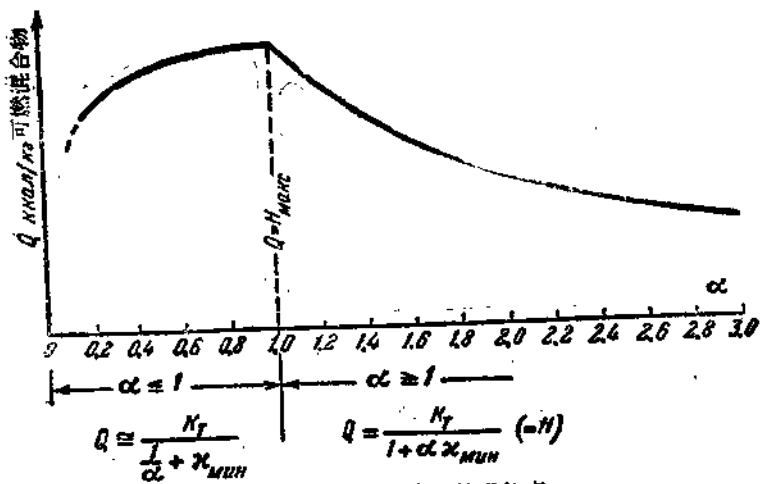


圖 12-3 可燃混合物的發熱率

#### 12-4. 發熱率曲線

因为燃烧过程的平均温度是和發熱率成比例的，則溫度曲綫  $t=t(\alpha)$  的性質和  $Q=Q(\alpha)$  曲綫相同。在  $\alpha < 1$  而又接近  $\alpha = 1$  的區域內，曲綫的軌跡是傾斜的，这是因为当过剩空气減少时，由於缺乏氧化剂，所以發热量和参与燃烧的物質量都同时減少了。在氧化剂非常缺乏的區域內，發熱率已經急劇降低，因而溫度也急劇降低。因此，在进行燃烧过程的这种区域里面，正如上面所說，燒不透現象將不仅仅是因缺乏氧化剂，氧化过程的溫度急劇降低，也会引起燒不透的現象。所以，完全可以意料到，在氧化剂非常缺乏的區域內，發熱率曲綫的真實軌跡，比圖 12-3 所示的實線曲綫來得低些，來得陡些。在过剩空气很多的區域內也是一样。在后一区域中，發熱率曲綫突然下降（与  $\alpha < 1$  的区域相比較），燃烧溫度因而也突然下降，因此，氧化过程进行的速度也变慢了。也完全可以意料到，在工業上应用的实际燃烧过程中，真正的發熱率將比圖 12-3 所示的实际曲綫还要低些。在  $\alpha < 1$  和  $\alpha > 1$  区域內發熱率曲綫的典型軌跡用点划綫表示在圖 12-4<sup>a</sup> 上。

在上述情況中，當發熱率很大時（可燃混合物的  $H_{max}$  值很大，對外部介質的放熱較適中時），燃燒過程可能轉入燃燒生成物的離解作用很顯著的高溫燃燒區域。發熱率的實際曲線要比它的極限曲線低些，在溫度（發熱率）降低的區域內却趨近於極限曲線，溫度降低是氧化劑或燃料非常缺乏所引起的，這種情況可以

用點划線大略表示在圖 12-4, 6 上，曲線的左翼表示氧化劑非常缺乏，而右翼則是燃料非常缺乏，這兩條曲線在末端處互相接近，是因為離解作用隨燃燒過程轉入溫度比較適中的區域而減輕了的緣故。

上述情形指出，使技術人員特別感覺興趣的所謂完全燃燒區域，無論在進行燃燒過程的溫度水平方面或是在過剩氧化劑方面都是非常有限的；在該區域中，可燃混合物的發熱能够達到最大（或充分利用燃料的發热量）。如果說的是用空氣來供燃燒的普通熱力爐子，則技術人

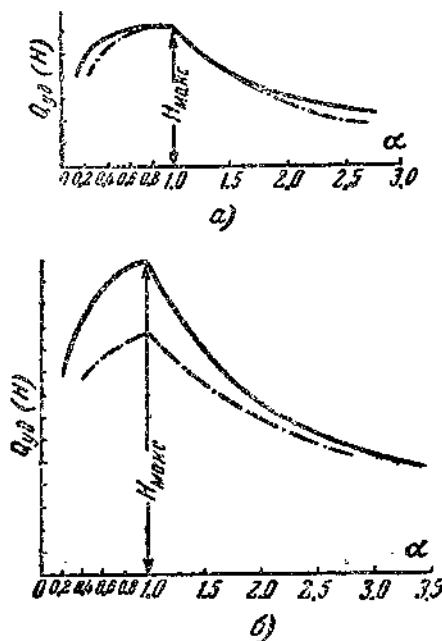


圖 12-4 過剩氧化劑變動時的發熱率  
a—中溫燃燒區域（發熱率適中）；  
b—高溫燃燒區域（發熱率較高）。

員企圖使燃料達到充分燒透是完全可能的。在這種情況下，應當設法使燃燒過程在過剩空氣最適中的狀況下進行，即是始終保持  $\alpha \geq 1$ 。在具有連續而穩定（假固定）的燃燒過程的熱力爐子中，儘管它的作用原理和普通的熱力燃燒設備沒有多大區別，但在熱負荷（強度）很大的狀況下運行時，其他一些因素就變得重要了。供應噴射嘴的爐子，當燃料和氧化劑的比例一定時，在  $\alpha \leq 1$  的範

喷内能够产生出最大的能力效应。气力和喷射(使用液态氧化剂)发动机也是一样。而在使用液态氧化剂时，可以同样提出關於燃料完全燃烧( $\alpha \geq 1$ )和氧化剂完全“燃燒”( $\alpha \leq 1$ )的适合性問題。

## 12-5. 理論單位引力

對於动力爐子來說，任何一种可燃混合物的潜在能力，最好是不要用可能發生的最高(理論)溫度  $t_{maxc, maxc}$  去表示它，而用理論單位引力(單位反作用力)去表示。

反作用力  $R_{maxc}$  [公斤]称为絕對理論引力，它等於每秒鐘的質量  $M$  [公斤·秒/公尺]与气态燃燒生成物的理論流速  $w_{maxc}$  [公尺/秒]相乘之积

$$R_{maxc} = M w_{maxc} = \frac{G}{g} w_{maxc} [\text{公斤}], \quad (12-6)$$

式中  $G$  ——可燃混合物每秒鐘的消耗量，公斤/秒；

$g$  ——重力加速度，公尺/秒<sup>2</sup>。

一公斤燃燒过的可燃混合物的絕對理論引力，称为理論單位引力

$$R_{maxc, yd} = \frac{R_{maxc}}{G} = \frac{w_{maxc}}{g} [\text{公斤} \cdot \text{秒}/\text{公斤}].$$

理論流速与最大發热量有关，其关系为下面的热力学式子

$$w_{maxc} = 91.5 \sqrt{H_{maxc}}. \quad (12-7)$$

由此，理論單位引力就完全决定於可燃混合物的一个重要特性——它的最大發热量  $H_{maxc}$ ：

$$R_{maxc, yd} = \frac{91.5}{9.81} \sqrt{H_{maxc}} = 9.33 \sqrt{H_{maxc}}. \quad (12-8)$$

发动机所能产生的实际引力，將随發熱完全程度( $\varphi$ )和发动机的优良質量而相应減小，发动机質量可以用一个系数  $\xi \leq 1$  来概括，则

$$R_{yd} = 9.33 \xi \sqrt{\varphi H_{maxc}} [\text{公斤} \cdot \text{秒}/\text{公斤}]. \quad (12-9)$$

## 12-6. 燃燒强度和烟气流的速度

本节中引用了像烟气流的速度这样一个重要概念，应当着重指出，用烟气流的速度来表明燃燒设备的工作，在各方面都不比用燃燒过程在爐子中产生的温度來得差些。

首先，在一定的燃燒室大小和一定的可燃混合物質量下，燃燒生成物气流的速度是直接和爐子的生产率有关的（即和爐子的供应能力有关）。

若燃燒室的横断面积为  $F$ [公尺<sup>2</sup>]，冷的气态燃燒生成物的重度为  $\gamma_0$ [公斤/公尺<sup>3</sup>]，絕對压力为  $P$ [公斤/公尺<sup>2</sup>]，平均絕對温度为  $T$ [°K]，則爐子的單位热負荷(燃燒强度)，可以用下面的式子表示：

$$\frac{Q}{F} = F w \gamma_0 \frac{P}{T} H - \frac{273 \times 3600}{10333} \cdot \frac{1}{F} [\text{大卡}/\text{公尺}^2 \cdot \text{时}]$$
$$= 95 w \gamma_0 \frac{P}{T} H [\text{大卡}/\text{公尺}^2 \cdot \text{时}], \quad (12-10)$$

式中，仍然是  $H = H_{max} \psi$  [大卡/公斤]，並且当  $\alpha = \psi = 1$  时，則  $H = H_{max}$ 。

数值  $w = \frac{273 \cdot P}{T \times 10333} \gamma_0 = w \gamma_{p,T}$  [公斤/公尺<sup>2</sup>·秒]

是气流的“重量”流速。从上面的式子不难看出，当燃燒进行的溫度为  $T$ (°K)时，若燃燒生成物是气态物質，則爐子的燃燒强度將随压力的提高和流过燃燒室的气流速度的增加而加强。

当爐子的尺寸一定时，烟气流的速度可以决定可燃混合物在燃燒室内的逗留时间，逗留时间应当和可燃混合物的燃燒时间保持一定的关系，要想达到完全燃燒，就应滿足下述条件

$$\tau_{stop} \geq \tau_{cstop} [\text{秒}].$$

## 12-7. 烟气流的速度和溫度

这两个重要特性——烟气流的速度和溫度——之间的关系，

用热能平衡式是很容易确定的。設可燃混合物的原始温度及其原始速度(当进入燃烧室时)都等於零, 則在理論上的完全燃燒時( $\varphi=1$ )得:

$$H = ct + \frac{w^2}{2g} A$$

用可燃混合物的比热去除上式, 則

$$t_{mopn} = t_{max} = \frac{H}{c} = t + \Delta t = t + \frac{Aw^2}{2gc} \approx t + \frac{w^2}{2000} [{}^\circ\text{C}], \quad (12-11)$$

数值  $t_{mopn}$  和燃燒過程的“熱力”(或“靜力”)溫度不同, 它是一個“全溫度”, 或者正如一般的叫法一樣, 它是一個“掣動溫度”。這種溫度的意義與機械能平衡式(柏努利方程式)得出的“全壓力”或掣動壓力

$$P_{mopn} = P_{cman} + \frac{w^2}{2g} \gamma$$

的意義是相類似的。

由公式(12-11)可以看出, 只有當  $w=0$ , 即氣流靜止時, 掣動溫度才會等於熱力溫度。但動力附增項  $\Delta t$ , 只是在氣流的速度很大、接近於音速的時候才重要。例如

當  $w=10$  公尺/秒時,  $\Delta t=0.05 {}^\circ\text{C}$

當  $w=100$  公尺/秒時,  $\Delta t=5.0 {}^\circ\text{C}$

當  $w=350$  公尺/秒時,  $\Delta t=60.0 {}^\circ\text{C}$

在燃燒最強的近代能力燃燒設備的燃燒室中, 特別是在熱力爐子的燃燒室裏面, 熱力溫度和掣動溫度實際上是一樣的。當分析近代氣體動力學, 高速狀況下的熱交換現象的許多問題時, 如需量度高速氣流等①的溫度, 則應用掣動溫度的概念就具有特別重大的意義。

① 应當注意: 把熱電偶放到氣流裏面, 氣流在熱電偶的表面上就會受到障礙, 热電偶量出的溫度, 並不是熱力溫度, 而是一個很接近或甚至等於掣動溫度的溫度(文獻 2, 3, 4 等)。